

# طراحی کنترل کننده فازی سلسله مراتبی با آموزش پسخور خطأ بر اساس تابع لیاپانوف برای کلاسی از سیستم‌های غیرخطی مرتبه بالا

محمد منوری<sup>۱</sup>، محمد تشنلوب<sup>۲</sup>، مهدی علیاری شورهدلی<sup>۳</sup>

<sup>۱</sup> دانشجوی دکتری مهندسی برق، گروه کنترل، دانشگاه خواجه نصیرالدین طوسی، mohammad@ee.kntu.ac.ir

<sup>۲</sup> استاد، دانشکده مهندسی مهندسی برق، گروه کنترل، دانشگاه خواجه نصیرالدین طوسی، teshnehlab@eetd.kntu.ac.ir

<sup>۳</sup> استادیار، دانشکده مهندسی مهندسی برق، گروه مکاترونیک، دانشگاه خواجه نصیرالدین طوسی، aliyary@eetd.kntu.ac.ir

(تاریخ دریافت مقاله ۱۳۹۴/۲/۵، تاریخ پذیرش مقاله ۱۳۹۴/۶/۳۱)

**چکیده:** در این نوشتار، یک کنترل کننده فازی سلسله مراتبی به همراه کنترل کننده کلاسیک PD با روش آموزش پسخور خطأ برای کلاسی از سیستم‌های غیرخطی تک خروجی و در حضور اغتشاش محدود ارایه شده است. برای پایداری سیستم تحت کنترل، تابع لیاپانوفی در نظر گرفته شده است که ضمن تضمین پایداری، قانون بهروز رسانی تمامی پارامترهای تالی سیستم فازی سلسله مراتبی نیز از آن استخراج شده است. پارامترهای تالی سیستم فازی سلسله مراتبی که در بلوک‌های مختلف واقع شده‌اند به صورت غیرخطی-در-پارامتر در خروجی ظاهر می‌شوند. برای استخراج قوانین تطبیق برای آنها با قضیه مطرح شده، پارامترها به صورت خطی-در-پارامتر ظاهر شده‌اند. برای جملات تقریب زده شده، حد بالا در نظر گرفته شده است. حد بالای جملات تقریب نیز در تابع لیاپانوف در نظر گرفته شده و برای آنها قانون تطبیق استخراج شده است تا محافظه کاری تقریب کاهش پیدا کند. نشان داده شده است که قضیه ارایه شده به تمامی ساختارهای سیستم‌های فازی سلسله مراتبی با هر تعداد لایه و حتی به سیستم فازی معمول نیز قابل اعمال است. در ضمن به کار بردن سیستم فازی سلسله مراتبی باعث کاهش قواعد و در نتیجه کاهش پارامترها می‌گردد، در نهایت الگوریتم ارایه شده بر روی دو سیستم (بازوی ربات انعطاف‌پذیر و سیستم تعليق خودرو یک چهارم فعال) شبیه‌سازی شده و نتایج آن با روش کلاسیک مدل‌گزشی مقایسه شده است. نتایج شبیه‌سازی بیانگر کارایی مطلوب کنترل کننده ارایه شده است.

**کلمات کلیدی:** کنترل کننده فازی سلسله مراتبی، کاهش قواعد، آموزش پسخور خطأ، تابع لیاپانوف و قانون تطبیق.

## Designing Hierarchical Fuzzy Controller with Feedback Error Learning Based on Lyapunov Function for a Class of High-order Nonlinear System

M. Mansouri, M. Teshnehlab, M. Aliyari Shoorehdeli

**Abstract:** In this study, a hierarchical fuzzy controller associated with PD classical controller with feedback error learning method for class of canonical SISO nonlinear system in presence of bounded disturbance is presented. The stability of whole system is guaranteed through a Lyapunov function. The adaptation laws of all parameters of consequent part of hierarchical fuzzy system are derived using it. Tunable parameters of hierarchical fuzzy system are appeared in nonlinear form at the output. Using the mentioned theorem, they are appeared in linear form. There is an upper bound for the residual terms. They are considered in Lyapunov function and the adaptation law is derived for them. It is shown that, the proposed theorem is applicable to the hierarchical fuzzy system with any structure and any number of layers and even to the ordinary fuzzy systems. Also, using

hierarchical fuzzy controllers leads to reduction of number of rules and parameters in a fuzzy system. Finally, the proposed method is applied on two systems (flexible joint robot and quarter active suspension system). The results are compared with classical sliding mode method. They reveal the efficiency of the suggested algorithm.

**Keywords:** Hierarchical fuzzy controller, rule reduction, feedback error learning, Lyapunov function and adaptation law.

مواردی غیرممکن می‌باشد. آموزش پسخور خطأ<sup>۱</sup> (FEL) یکی از روش‌های مطرح شده برای غلبه بر این مشکل می‌باشد که به آموزش برخط پارامترها بدون نیاز به محاسبه ژاکوبین سیستم می‌پردازد. از نقطه نظر کنترلی، FEL را می‌توان کنترل کننده تطبیقی در نظر گرفت که به آموزش پارامترهای مسیر پیشرو با استفاده از کنترل کننده مسیر پسخور پارامترها بدون نیاز به محاسبه ژاکوبین سیستم می‌پردازد. از نقطه نظر کنترلی، FEL را می‌توان کنترل کننده تطبیقی در نظر گرفت که به آموزش پارامترهای مسیر پیشرو با استفاده از کنترل کننده مسیر پسخور می‌پردازد. این استراتژی کنترلی شامل یک کنترل کننده هوشمند و یک کنترل کننده کلاسیک می‌باشد که به ترتیب در مسیر پیشرو و در مسیر فیدبک قرار دارند. Kawato برای اولین بار این استراتژی کنترلی را برای کنترل کننده شبکه عصبی چندلایه در کنار یک کنترل کننده PD به کار برد [۸]. پایداری این الگوریتم نیز در مراجع [۹ و ۱۰] بررسی شده است. در مرجع [۱۱] نیز برای کنترل فرکانس شبکه عصبی قدرت، نویسنده‌گان از FEL برای آموزش پارامترهای شبکه عصبی پویا استفاده کرده‌اند. در [۱۲] نویسنده‌گان پارامترهای شبکه عصبی انعطاف‌پذیر را با این روش آموزش داده‌اند.

در این تحقیق از کنترل کننده فازی سلسله مراتبی به همراه کنترل کننده کلاسیک PD با آموزش پارامترها به روش آموزش پسخور خطأ استفاده شده است. کلاس سیستم غیرخطی در نظر گرفته شده یک سیستم غیرخطی تک ورودی-تک خروجی در حضور اختشاش محدود می‌باشد که به فرم نرمال در نظر گرفته شده است. با استفاده از قضیه مطرح شده توسط نویسنده‌گان در [۱۳] که در آن رابطه‌ای برای خطای تخمین تابع توسط سیستم فازی سلسله مراتبی ارایه شده است، خطای بین سیگنال کنترلی ایده‌آلی که با استفاده از کنترل کننده کلاسیک به دست آمده است با رابطه مذکور جایگزین شده است. بدین صورت پارامترهای سیستم فازی سلسله مراتبی که در لایه‌های میانی قرار دارند، به صورت خطی-در-پارامتر در خروجی ظاهر شده و پایداری سیستم با این کنترل-کننده ثابت می‌شود. همچنین پایداری سیستم تحت کنترل با استفاده از تابع لیپانوف تضمین و قانون به روزرسانی<sup>۲</sup> پارامترهای سیستم فازی سلسله مراتبی نیز استخراج می‌شود.

ادامه مقاله بدین صورت است که: در بخش بعد به بیان مسئله و کلاسی از سیستم‌های غیرخطی مورد مطالعه و فرضیه‌های در نظر گرفته شده می‌پردازیم. سپس در بخش<sup>۳</sup> به معرفی روش آموزش پسخور خطأ اشاره می‌شود. در بخش<sup>۴</sup> توضیح مختصری از سیستم‌های فازی سلسله

## ۱- مقدمه

امروزه شاهد کاربرد روز افزون سیستم‌های فازی در کنترل سیستم‌های صنعتی هستیم. سیستم‌های صنعتی معمولاً سیستم‌های غیرخطی مرتبه بالا هستند. لذا، سیستم‌های فازی در کاربردهای صنعتی، مواجه با سیستم‌های مرتبه بالا می‌شوند. در حالت کلی چنانچه یک سیستم فازی<sup>۱</sup> ورودی و برای هر ورودی  $m$  تابع عضویت داشته باشد، تعداد کل قواعد برابر با  $M^m$  خواهد بود. بنابراین تعداد قوانین با افزایش تعداد ورودی‌ها به صورت نمایی افزایش خواهد یافت که به این پدیده "افزایش بعد"<sup>۲</sup> گفته می‌شود. این پدیده یک مشکل اساسی در کاربرد سیستم‌های فازی در کاربردهای صنعتی می‌باشد.

برای غلبه بر این مشکل، Raju و Zhou در سال ۱۹۹۱، برای اولین بار سیستم‌های فازی سلسله مراتبی<sup>۳</sup> (HFS) را مطرح کردند [۱]. در این نوع سیستم‌های فازی، بجای استفاده از یک سیستم فازی با تعداد ورودی‌های بیشتر و در نتیجه قواعد بالا از چندین سیستم فازی با همان تعداد ورودی و در نتیجه قواعد کمتر استفاده می‌شود که موجب می‌شود تعداد قواعد با رشد ورودی‌ها به صورت خطی زیاد شود [۲]. خاصیت تقریب گر عمومی بودن<sup>۴</sup> سیستم‌های فازی سلسله مراتبی نیز در مراجع [۵] مورد بررسی قرار گرفته است.

امروزه، محققان بسیاری در زمینه سیستم‌های فازی سلسله مراتبی مقالات فراوانی ارایه کرده‌اند و کاربردهای این سیستم‌ها، از کارهای کلاسی‌بندی تا کنترل سیستم‌ها توسعه یافته است. در مراجع [۶ و ۷] مرور نسبتاً جامعی راجح به موضوعات و تحقیقات انجام شده در سیستم‌های فازی سلسله مراتبی انجام شده است. در واقع، ویژگی کاهش قواعد سیستم‌های سلسله مراتبی منجر به کاربردها روزافزون آنها در سیستم‌های مختلف شده است.

تنظیم برخط<sup>۵</sup> پارامترهای سیستم‌های فازی یکی از ضرورت‌های اساسی برای به کاربردن آنها در کاربردهای واقعی و کنترلی شمرده می‌شود. نیاز روش‌های آموزش برایه گرادیان نزولی به ژاکوبین سیستم، از کاربردی بودن آنها می‌کاهد چرا که محاسبه ژاکوبین بسیار پیچیده و در

<sup>1</sup>Curse of dimensionality

<sup>2</sup>Hierarchical fuzzy systems

<sup>3</sup>General function approximator

<sup>4</sup>On-line

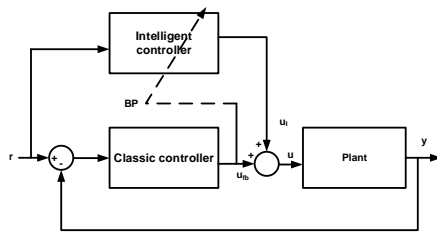
<sup>5</sup>Feedback error learning  
<sup>6</sup>Adaptation law

مزایایی است که عبارتند از: ۱) ساختار کنترل تطبیقی ارایه شده ترکیبی از ساختارهای کنترل کننده تطبیقی قابلی مستقیم و غیرمستقیم می‌باشد. ۲) مدل معکوس سیستم به صورت بلادرنگ و بدون نیاز به محاسبه ژاکوبین محاسبه می‌گردد. مراجع [۹ و ۱۰] پایداری ساختار ارایه شده را بررسی کرده‌اند.

مراتبی داده شده است. در ادامه و در بخش ۵ روش کنترل پیشنهاد شده مورد بررسی قرار گرفته و قضیه‌ای برای اثبات پایداری سیستم حلقه بسته ارایه شده است. در بخش ۶ چگونگی بروزرسانی مقاوم قوانین مطرح شده است. سپس روش پیشنهاد شده در بخش شبیه‌سازی بر روی دو سیستم مکانیکی اعمال شده است. در نهایت، نتایج به دست آمده از روش پیشنهادی را مورد بررسی قرار می‌دهیم.

## ۲- بیان مسئله

در این بخش به معرفی مدل ریاضی کلاسی از سیستم‌های غیرخطی که کنترل کننده ارایه شده را می‌توان به آن اعمال کرد و هدف کنترلی مدنظرمان می‌پردازیم. سیستم غیرخطی موردنظر یک سیستم تک ورودی-تک خروجی و به شکل نرمال است که در رابطه (۱) نشان داده شده است.



شکل ۱: بلوک دیاگرام کلی رهیافت پسخور خطأ

$$\begin{aligned} x^{(n)}(t) &= f(X) + g(X)u(t) + d(t) \\ y(t) &= x(t) \end{aligned} \quad (1)$$

که در آن  $[x(t), \dot{x}(t), \dots, x^{(n-1)}(t)] = X$  بردار متغیرهای حالت،  $u(t)$  سیگنال کنترلی،  $f(X)$  تابع غیرخطی نامعلوم،  $g(X)$  بهره کنترلی نامعلوم و  $d(t)$  سیگنال اغتشاش محدود به طوری که  $|d(t)| < D$  می‌باشد. کران بالای اغتشاش و نامعلوم فرض شده است. هدف کنترلی این است که خروجی سیستم،  $y_d$ ، خروجی مطلوب،  $y$  را دنبال کند. به عبارت بهتر، با در نظر گرفتن خطای ریدیابی به صورت  $y_d - y = e$  مسئله اصلی طراحی سیگنال کنترلی  $u(t)$  است به نحوی که با میل کردن زمان به سمت بینهایت، خطای ریدیابی به سمت صفر همگرا شود. لازم به ذکر است که برای حذف اثر اغتشاش فرض زیر را در نظر بگیریم:

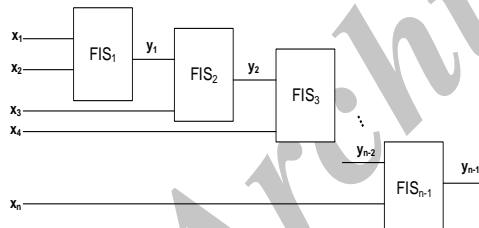
**فرض:** بهره کنترلی دارای کران پایین نامعلوم می‌باشد به بیان دیگر  $0 < g_L < g_d < g(X)$  که در آن عدد ثابت  $g_d$  کران پایین بهره کنترلی است.

## ۳- آموزش پسخور خطأ

ایده اولیه آموزش پسخور خطأ الهام گرفته از عملکرد مغز در پدیده‌های مختلف و اجرای کارهای کنترلی می‌باشد. عملکرد مغز را می‌توان با استفاده از ساختار کنترل دو درجه آزادی یا به عبارت بهتر با استفاده از دو کنترل کننده مدل‌سازی نمود. این ساختار را دانشمند ژاپنی به نام Kawato در سال ۱۹۸۷ مطرح کرد و آن را آموزش پسخور خطأ نامگذاری کرد. در این ساختار کنترلی، یک سیستم کنترلی به عنوان معکوس سیستم تحت کنترل در مسیر پیشرو و کنترل کننده دیگر در مسیر پسخور قرار گرفته است. دلیل نامگذاری آن نیز استفاده از خطای آموزش معکوس فرآیند می‌باشد. در شکل ۱ ساختار FEL نمایش داده شده است. همان‌طور که دیده می‌شود دو کنترل کننده کلاسیک و هوشمند در نظر گرفته شده است که کنترل کننده هوشمند در مسیر پیشرو قرار دارد و هدف آن ایجاد معکوس سیستم می‌باشد. این ساختار کنترلی را می‌توان در رسته کنترل کننده‌های تطبیقی در نظر گرفت که دارای

## ۴- سیستم فازی سلسله مراتبی

در این بخش به ارایه توضیح مختصری پیرامون سیستم‌های فازی سلسله مراتبی می‌پردازیم. سیستم فازی سلسله مراتبی نمونه با N-1 لایه را به صورت شکل ۲ در نظر بگیرید. در این سیستم در هر لایه یک بلوک فازی موجود می‌باشد و هر بلوک فازی دارای دو ورودی است. در این شکل هر FIS نشان دهنده یک سیستم فازی است. ثابت شده است که با این ساختار تعداد کل قواعد کمینه خواهد بود [۳].



شکل ۲: بلوک دیاگرام سیستم فازی سلسله مراتبی

در حالت کلی، اگر بلوک‌های فازی واقع در هر لایه را سیستم فازی مدانی با موتور استنتاج ضرب-جمع، فازی ساز منفرد و غیرفازی ساز میانگین مراکز در نظر بگیرید، خروجی لایه  $p$ -ام به صورت (۲) به دست خواهد آمد.

$$y_p = \frac{\sum_{i_p=1}^{r_p} \mu_{A_{i_p}}^{i_p}(x_{p+1}) \cdot \mu_{B_{i_p}}^{i_p}(y_{p-1}) \theta_p^{i_p}}{\sum_{i_p=1}^{r_p} \mu_{A_{i_p}}^{i_p}(x_{p+1}) \cdot \mu_{B_{i_p}}^{i_p}(y_{p-1})} \quad (2)$$

که در آن  $r_p$  تعداد قواعد موجود در لایه  $p$ -ام،  $\mu_{A_{i_p}}^{i_p}$  تابع عضویت ورودی  $1-p$ -ام،  $\mu_{B_{i_p}}^{i_p}$  تابع عضویت خروجی لایه  $1-p$

ام و  $\eta$  اندیس مربوط به تابع عضویتی است که در قانون  $\eta = \frac{1}{1 + e^{-\theta_p(x_{p+1}, y_{p-1})}}$  ظاهر شده است. رابطه (۲) را می‌توان به صورت برداری (۳) نیز نوشت:

$$y_p = \theta_p^T \Gamma_p(x_{p+1}, y_{p-1}) \quad (3)$$

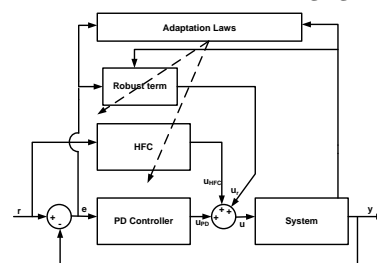
که در آن  $\theta_p \in R^{r_p \times 1}$  بردار مراکز دسته پارامترهای قسمت تالی و  $\Gamma_p \in R^{1 \times r_p}$  بردار قسمت نرمالیزه مربوط به بخش مقدم می‌باشد. همان‌طور که در شکل ۲ دیده می‌شود، خروجی هر بلوک فازی به همراه متغیر ورودی بعدی وارد بلوک فازی لایه بعدی می‌گردد و فقط در لایه اول ورودی‌های فازی هر دو متغیرهای ورودی می‌باشند.

**فرض:** در تمامی قضایای مطرح شده در این مقاله، از آنجا که به غیر صفر بودن مخرج در (۲) یا به عبارت بهتر کامل بودن قواعد و همچنین مشتق پذیر بودن توابع تعلق نیاز است، در نتیجه تمامی توابع عضویت به صورت گاوی در نظر گرفته شده است.

با دقت در روابط ذکر شده مشاهده می‌شود که پارامترهای بخش تالی لایه‌های میانی به صورت غیرخطی در پارامتر ظاهر می‌شوند. بدین معنی که خروجی سیستم فازی سلسله مراتبی نسبت به پارامترها، غیرخطی است. به عبارت دیگر نمی‌توان خروجی را به صورت حاصلضرب بردار پارامترها در بردار رگرسورها نوشت که این مسئله استخراج قانون تطبیق را برای پارامترها در روش‌های تطبیقی برپایه لیپاونف دشوار می‌سازد.

## ۵- الگوریتم پیشنهادی

در این بخش کنترل کننده پیشنهاد شده در این مقاله را توضیح خواهیم داد. بلوک دیاگرام الگوریتم پیشنهادی در شکل ۳ نشان داده شده است. همان‌طور که در شکل قابل مشاهده است، کنترل کننده فازی سلسله مراتبی در مسیر پیشرو و کنترل کننده کلاسیک PD به عنوان کنترل کننده مسیر پسخور قرار گرفته‌اند. مجموع سه جمله خروجی: کنترل کننده فازی سلسله مراتبی ( $u_{HFC}$ )، کنترل کننده کلاسیک ( $u_{pd}$ ) و جمله مربوط به کنترل کننده مقاوم ( $u_r$ ) می‌باشد. بلوک قوانین به روز رسانی برپایه قضیه ارایه شده در ادامه، پارامترهای کنترل کننده‌های فازی سلسله مراتبی و مقاوم را به روز رسانی می‌کند.



شکل ۳: بلوک دیاگرام الگوریتم پیشنهادی

همان‌طور که در شکل ۳ قابل مشاهده است، سیگنال کنترلی که به سیستم تحت کنترل وارد می‌گردد، به صورت زیر در نظر گرفته می‌شود:

که در آن،  $u_{HFC}$  سیگنال کنترلی ناشی از کنترل کننده فازی،  $u_{pd}$  سیگنال کنترلی ناشی از کنترل کننده کلاسیک تابعی - مشتقی و  $u_r$  سیگنال کمکی برای جبران عدم قطعیت موجود می‌باشد. همان‌طور که قبل اشاره شد، خطای رديابی به صورت زیر تعریف می‌شود:

(۵)

$$e = y_d - y \quad (5)$$

خروچی کنترل کننده کلاسیک که تابعی - مشتقی در نظر گرفته شده است به صورت زیر به دست می‌آید:

(۶)

$$u_{pd} = k_p e + k_d \dot{e} \quad (6)$$

که در آن  $k_p$  و  $k_d$  ثابت‌های تابعی و مشتقی هستند. بردار  $\bar{u}_{pd}$  به صورت (۷) تعریف می‌شود:

(۷)

$$\bar{u}_{pd} = [u_{pd}, \dot{u}_{pd}, \dots, u_{pd}^{(n-1)}]^T_{n \times 1} \quad (7)$$

با استفاده از خطی سازی فیدبک، فرمان کنترلی ایده‌آل که اثر توابع غیرخطی موجود در سیستم را حذف می‌کند، به صورت زیر تعریف بیان می‌شود:

$$u^* = \frac{1}{g(X)} [-f(X) + y_m^{(n)} - g(X)u_{pd} + K^T \bar{u}_{pd} + u_{pd}^{(n)} - e^{(n)}] \quad (8)$$

که در آن،  $y_m^{(n)}$  بیان کننده مشتقات زمانی  $n$  ام  $y_m$  و  $K = [k_n, k_{n-1}, \dots, k_1]^T_{n \times 1}$  می‌باشد. با جایگذاری (۸) در (۱) معادله مشخصه دینامیک پسخور خطرا به صورت زیر خواهد بود:

(۹)

$$u_{pd}^{(n)} + k_1 u_{pd}^{(n-1)} + \dots + k_n u_{pd} = 0 \quad (9)$$

بردار  $K$  طوری تعیین می‌شود که (۹) همویت باشد. از آنجایی که  $u_{pd}$  تابعی از خطای و مشتق

$$x^{(n)} = y_m^{(n)} + K^T \bar{u}_{pd} + u_{pd}^{(n)} - e^{(n)} + g(X)(u - u^*) + d(t) \quad (10)$$

با استفاده از (۱۰) و با ساده‌سازی آن، رابطه (۱۱) به دست می‌آید:

(۱۱)

$$u_{pd}^{(n)} = -K^T \bar{u}_{pd} + g(x)[u^* - u] - d(t) \quad (11)$$

که در آن،  $u$  سیگنال کنترلی اعمالی به سیستم می‌باشد. هنگامی که  $u$  به مقدار ایده‌آل خود،  $u^*$ ، میل کند با استفاده از (۱۱) و (۱۰)

دینامیک خروجی کنترل کننده کلاسیک به صورت زیر به دست می آید:

$$\theta_{f_n} = 2\bar{\theta}_{n-1} \cdot \sum_{i=1}^{n-2} C_i \cdot \bar{\theta}_i + \varepsilon^* + \bar{I}_{n-1} \cdot \bar{\theta}_{n-1} \quad (16)$$

$$\theta_{f_{n-1}} = \sum_{i=1}^{n-2} C_i \cdot \bar{\theta}_i \quad (14)$$

$$\theta_{f_i} = C_i \bar{\theta}_i \quad \text{for } i = 1, \dots, n-2 \quad (\text{1A})$$

که در آن ماتریس  $\wedge$  به فرم همبسته و بردار  $B$  به صورت زیر به دست می‌آید:

که در روابط بالا  $\bar{\theta}_i$  کران بالای پارامترهای بهینه  $\hat{\theta}_i$ -ام، یا به عبارت بهتر  $\leq \|\theta_i^*\|$ ،  $\bar{\theta}_i$  کران بالای خطای بین سیستم فازی سلسه مراتی یده‌آل و تابع واقعی یا به عبارت بهتر  $\leq |\varepsilon_i^*(x)|$  آن

لذا،  $\hat{C}_{n-1}$  ها کاران بالا، مشتملة تابع گاووس هستند.

مهمترین نتیجه‌ای که این قضیه در بر دارد، این است که برای تقریب‌های در نظر گرفته شده که ناشی از جملات مرتبه بالای بسط تیلور و برخی عبارات دیگر می‌باشد، حد بالا به صورت خطی در پارامتر می-  
ته اند سان شه. د.

حال سیستم تحت کنترل با استفاده از کنترل کننده پیشنهادی در شکل - ۳ را در نظر گرفته و پایداری الگوریتم کنترلی را مورد بررسی قرار می دهیم. قضیه ۲ که در ادامه مطرح می گردد، به این مسئله می پردازد. همچنین این قضیه ضمن تضمین پایداری سیستم تحت کنترل، قانون به وزد سانی، یارانه ها را نیز بان م دارد.

قضیه ۲: سیستم غیرخطی مطرح شده در (۱) را تحت ساختار کنترلی شکل ۳ در نظر بگیرید که در آن سیستم فازی سلسه مراتبی با توابع عضویت گاویسی در نظر گرفته شده است. اگر قوانین به روزرسانی پارامترها را طبق روابط (۱۹) تا (۲۲) اعمال کیم، آنگاه تمامی متغیرهای سیستم تعیینی محدود باقی مانده و خطای ردیابی سیستم تحت کنترل نیز به سمت صفر می‌رسد.

$$u_r(t) = \rho \cdot sign(\bar{u}_{pd}^T PB) + \hat{\theta}_f^T Y_f sign(\bar{u}_{pd}^T PB) \quad (14)$$

$$\dot{\hat{\theta}}_{n-1} = \eta_{n-1} \bar{u}_{pd}^T P B. \left( \hat{\Gamma}_{n-1} - \right) \quad (44)$$

$$\sum_{i=1}^{n-2} \frac{\partial \Gamma_{n-1}}{\partial \theta_i^*} |_{\theta=\hat{\theta}} \hat{\theta}_i \Big) \\ \dot{\hat{\theta}}_i =$$

$$\eta_i \bar{u}_{pd}^T P B . \left( \hat{\theta}_{n-1}^T \left( \frac{\partial \Gamma_{n-1}}{\partial \theta_i^*} \Big|_{\theta=\hat{\theta}} \right) \right)^T ; i = 1, \dots, n-2 \quad (41)$$

$$\dot{\hat{\theta}}_\epsilon \equiv \eta_\epsilon, |\bar{y}_{\text{ad}}^T P B|, Y_\epsilon \quad (\star\star)$$

$$\dot{\rho} \equiv n_{\mu} \cdot |\bar{\mu}_{\mu d}{}^T P B| \quad (43)$$

---

$$\dot{\bar{u}}_{pd} = \wedge \bar{u}_{pd} + B \left[ u^* - u - \frac{d(t)}{\gamma(V)} \right] \quad (12)$$

$$g(X)]$$

که در آن ماتریس  $\Lambda$  به فرم همبسته و بردار  $B$  به صورت زیر به دست می‌آید:

$$\Lambda = \begin{bmatrix} 0 & 1 & 0 & 0 \\ 0 & 0 & 0 & 0 \\ 0 & \ddots & \dots \dots & 1 & 0 \\ \vdots & 0 & 0 & 1 & 1 \\ -k_n & -k_{n-1} & \dots \dots & -k_2 & -k_1 \end{bmatrix}$$

همان طور که در بخش ۳ اشاره شد، پارامترهای لایه‌های میانی کنترل کننده فازی سلسه مراتبی به صورت غیرخطی در پارامتر در خروجی ظاهر می‌شوند. این امر سبب می‌شود تا استخراج قانون تطبیق با استفاده ازتابع لیاپانوف به طور مستقیم ممکن نباشد. لذا از قضیه زیر استفاده می‌کنیم.

قضیه ۱۳]: اگر خطای تخمین پارامترها را به صورت  $\hat{\theta} \triangleq \theta^* - \hat{\theta}$  تعریف کنیم خطای تخمین تابع یعنی  $f(x) - \hat{f}(x)$  هنگامی که از سیستم فازی سلسله مراتبی با توابع عضویت گاوی برای تخمین تابع استفاده می‌شود به صورت  $(14)$  می‌تواند بیان شود:

$$\varepsilon(x) = \tilde{\theta}_{n-1}^T \left( \hat{\Gamma}_{n-1} - \sum_{i=1}^{n-2} \frac{\partial \Gamma_{n-1}}{\partial \theta_i^*} |_{\theta=\hat{\theta}} \hat{\theta}_i \right) + \quad (14)$$

$$\hat{\theta}_{n-1}^T \left( \sum_{i=1}^{n-2} \frac{\partial \Gamma_{n-1}}{\partial \theta_i^*} \Big|_{\theta=\tilde{\theta}} \tilde{\theta}_i \right) + R$$

که در آن  $R$  یک عبارت باقیمانده است که شرط زیر را برقرار می‌سازد:

$$|R| \leq \theta_f^{*T} \cdot Y_f$$

که در رابطه (۱۵)  $\theta_f^*$  یک بردار ثابت نامعلوم ولی کراندار از کرانهای بالای پارامترهای بهینه و برخی حدود بالای ثابت به صورت  $(18)-$   $\theta_f^* = [\theta_{f_1}, \theta_{f_{n-1}}, \dots, \theta_{f_1}]^T$  که عناصر آن در روابط  $(16)$ - تعریف شده‌اند و  $Y_f = [1, \|\hat{\theta}_{n-1}\|, \|\hat{\theta}_{n-2}\|, \dots, \|\hat{\theta}_1\|]^T$  یک بردار تابعی معلوم است.

$$\begin{aligned} \frac{d(t)}{g(X)} & - \frac{1}{\eta_{n-1}} \tilde{\theta}_{n-1}^T \dot{\theta}_{n-1} - \sum_{i=1}^{n-2} \frac{1}{\eta_i} \tilde{\theta}_i^T \dot{\theta}_i - \\ & \frac{1}{\eta_f} \tilde{\theta}_f^T \dot{\theta}_f + \frac{1}{\eta_p} \dot{\rho}(\rho - \rho^*) \end{aligned}$$

حال، اگر روابط بروزرسانی (۱۹) تا (۲۳) را در (۲۹) جایگذاری کنیم، رابطه (۳۰) نتیجه خواهد شد:

$$\begin{aligned} \dot{V} = & -\frac{1}{2} \bar{u}_{pd}^T Q \bar{u}_{pd} + \bar{u}_{pd}^T P B \left[ R - u_r - \right. \\ & \left. \frac{1}{\eta_p} \tilde{\theta}_f^T \dot{\theta}_f + \frac{1}{\eta_p} \dot{\rho}(\rho - \rho^*) \right] \\ & - \frac{1}{2} \bar{u}_{pd}^T Q \bar{u}_{pd} + \bar{u}_{pd}^T P B R + \\ & \bar{u}_{pd}^T P B \left[ -\rho \cdot \text{sign}(\bar{u}_{pd}^T P B) - \right. \\ & \left. \hat{\theta}_f^T Y_f \text{sign}(\bar{u}_{pd}^T P B) - \frac{d(t)}{g(X)} \right] - \frac{1}{\eta_f} (\theta_f^* - \\ & \hat{\theta}_f)^T \dot{\theta}_f + \frac{1}{\eta_p} \dot{\rho}(\rho - \rho^*) = -\frac{1}{2} \bar{u}_{pd}^T Q \bar{u}_{pd} + \\ & \bar{u}_{pd}^T P B R - \rho \cdot |\bar{u}_{pd}^T P B| - \hat{\theta}_f^T Y_f |\bar{u}_{pd}^T P B| - \\ & \bar{u}_{pd}^T P B \frac{d(t)}{g(X)} - \frac{1}{\eta_f} (\theta_f^* - \hat{\theta}_f)^T \dot{\theta}_f + \\ & \frac{1}{\eta_p} \dot{\rho}(\rho - \rho^*) \leq -\frac{1}{2} \bar{u}_{pd}^T Q \bar{u}_{pd} + \\ & |\bar{u}_{pd}^T P B| |R| - \rho \cdot |\bar{u}_{pd}^T P B| - \\ & \hat{\theta}_f^T Y_f |\bar{u}_{pd}^T P B| + |\bar{u}_{pd}^T P B| \frac{D}{M} - \\ & \frac{1}{\eta_f} \theta_f^{*T} (\eta_f |\bar{u}_{pd}^T P B| Y_f) + \\ & \frac{1}{\eta_f} \hat{\theta}_f^T (\eta_f |\bar{u}_{pd}^T P B| Y_f) + \\ & \frac{1}{\eta_p} (\eta_p |\bar{u}_{pd}^T P B|) \rho - \frac{1}{\eta_p} \rho^* (\eta_p |\bar{u}_{pd}^T P B|) \leq \\ & -\frac{1}{2} \bar{u}_{pd}^T Q \bar{u}_{pd} + |\bar{u}_{pd}^T P B| \theta_f^{*T} Y_f - \\ & \rho |\bar{u}_{pd}^T P B| - \hat{\theta}_f^T Y_f |\bar{u}_{pd}^T P B| + \\ & |\bar{u}_{pd}^T P B| \frac{D}{M} - \theta_f^{*T} |\bar{u}_{pd}^T P B| Y_f + \\ & \hat{\theta}_f^T |\bar{u}_{pd}^T P B| Y_f + \rho |\bar{u}_{pd}^T P B| - \\ & \rho^* |\bar{u}_{pd}^T P B| = -\frac{1}{2} \bar{u}_{pd}^T Q \bar{u}_{pd} - \\ & \rho^* |\bar{u}_{pd}^T P B| + \frac{D}{M} |\bar{u}_{pd}^T P B| \end{aligned} \quad (۳۰)$$

از آنجایی که  $\rho^*$  یک عدد مثبت نامعلوم می‌باشد و می‌توان آن را

طوری انتخاب کرد که  $\rho^* > \frac{D}{M}$  برقرار باشد. در این صورت داریم:

$$\dot{V} \leq -\frac{1}{2} \bar{u}_{pd}^T Q \bar{u}_{pd} \quad (۳۱)$$

همان‌طور که ملاحظه می‌شود مشتق تابع لیاپانوف غیرمثبت،  $\dot{V} \leq 0$  شد. لازم به ذکر است که در (۳۰) از رابطه (۱۵) قضیه ۱ و همچنین محدود بدن سیگنال‌های اختشاش از بالا و بهره کنترلی از بین استفاده شده است. رابطه (۳۱) همگرایی پارامترهای تالی کنترل کننده فازی سلسله مراتبی را به مقادیر بهینه تضمین کرده و ضرورت صفر شدن خطای پسخور خطای را نشان می‌دهد. از آنجا که  $u_{PD}$  معادله دیفرانسیلی مرتبه اولی بر حسب خطای است، صفر شدن آن صفر شدن خطای را اثبات می‌کند. حال برای نشان دادن صفر شدن مجذوبی خطای از لم باریالات استفاده می‌کنیم. بدین منظور تابع پیوسته و غیرمنفی  $V_1$  را مانند زیر تعریف می‌شود:

اثبات: تابع لیاپانوف مثبت معنی به فرم (۲۴) در نظر گرفته شده است:

$$\begin{aligned} V = & \frac{1}{2} \bar{u}_{pd}^T P \bar{u}_{pd} + \frac{1}{2\eta_{n-1}} \tilde{\theta}_{n-1}^T \tilde{\theta}_{n-1} + \\ & \frac{1}{2} \sum_{i=1}^{n-2} \frac{1}{\eta_i} \tilde{\theta}_i^T \tilde{\theta}_i + \frac{1}{2\eta_f} \tilde{\theta}_f^T \tilde{\theta}_f + \frac{1}{2\eta_p} (\tilde{\rho})^2 \end{aligned} \quad (۲۴)$$

که در آن،  $\tilde{\theta}_{n-1}$  خطای پارامترهای لایه آخر کنترل کننده فازی سلسله مراتبی،  $\tilde{\theta}_i$  خطای پارامترهای لایه‌های کمیاب<sup>\*</sup> کنترل کننده فازی سلسله مراتبی،  $\tilde{\theta}_f$  خطای پارامترهای لایه آخر سلسله مراتبی به صورت خطی در پارامتر و پارامترهای لایه‌های دیگر به صورت غیرخطی در پارامتر می‌باشند لذا به صورت جداگانه در تابع لیاپانوف در نظر گرفته شده‌اند. با گرفتن مشتق زمانی از تابع لیاپانوف پیشنهادی، (۲۵) به دست خواهد آمد:

$$\begin{aligned} \dot{V} = & \frac{1}{2} \dot{\bar{u}}_{pd}^T P \bar{u}_{pd} + \frac{1}{2} \bar{u}_{pd}^T P \dot{\bar{u}}_{pd} - \\ & \frac{1}{\eta_{n-1}} \tilde{\theta}_{n-1}^T \dot{\tilde{\theta}}_{n-1} - \sum_{i=1}^{n-2} \frac{1}{\eta_i} \tilde{\theta}_i^T \dot{\tilde{\theta}}_i - \frac{1}{\eta_f} \tilde{\theta}_f^T \dot{\tilde{\theta}}_f + \\ & \frac{1}{\eta_p} \dot{\tilde{\rho}}(\tilde{\rho} - \rho^*) \end{aligned} \quad (۲۵)$$

با جایگذاری دینامیک پسخور خطای (۱۲) در (۲۲)، رابطه (۲۳) به دست می‌آید:

$$\begin{aligned} \dot{V} = & \frac{1}{2} \bar{u}_{pd}^T \Lambda^T P \bar{u}_{pd} + \frac{1}{2} \bar{u}_{pd}^T P \Lambda \bar{u}_{pd} + \\ & \bar{u}_{pd}^T P B \left[ u^* - u - \frac{d(t)}{g(X)} \right] - \frac{1}{\eta_{n-1}} \tilde{\theta}_{n-1}^T \dot{\tilde{\theta}}_{n-1} - \\ & \sum_{i=1}^{n-2} \frac{1}{\eta_i} \tilde{\theta}_i^T \dot{\tilde{\theta}}_i - \frac{1}{\eta_f} \tilde{\theta}_f^T \dot{\tilde{\theta}}_f + \frac{1}{\eta_p} \dot{\tilde{\rho}}(\tilde{\rho} - \rho^*) \end{aligned} \quad (۲۶)$$

معادله لیاپانوف را به صورت زیر در نظر بگیرید:

$$\Lambda^T P + P \Lambda = -Q \quad (۲۷)$$

که در آن،  $P$  و  $Q$  ماتریس‌های مثبت معین و متقابل می‌باشند. با استفاده از معادله لیاپانوف تعریف شده در (۲۷) و جاگذاری آن در (۲۶)، رابطه (۲۸) به دست می‌آید:

$$\begin{aligned} \dot{V} = & -\frac{1}{2} \bar{u}_{pd}^T Q \bar{u}_{pd} + \bar{u}_{pd}^T P B \left[ u^* - u - \right. \\ & \left. \frac{d(t)}{g(X)} \right] - \frac{1}{\eta_{n-1}} \tilde{\theta}_{n-1}^T \dot{\tilde{\theta}}_{n-1} - \sum_{i=1}^{n-2} \frac{1}{\eta_i} \tilde{\theta}_i^T \dot{\tilde{\theta}}_i - \\ & \frac{1}{\eta_f} \tilde{\theta}_f^T \dot{\tilde{\theta}}_f + \frac{1}{\eta_p} \dot{\tilde{\rho}}(\tilde{\rho} - \rho^*) \end{aligned} \quad (۲۸)$$

چنانچه  $u$  را طبق (۴) در (۲۸) جاگذاری کنیم، با توجه به اینکه سیستم فازی سلسله مراتبی سعی در تخمین سیگنال کنترلی آیده‌آل (۸) دارد، لذا با توجه به قضیه ۱ و رابطه (۱۴) به رابطه (۲۹) خواهیم رسید:

$$\begin{aligned} \dot{V} = & -\frac{1}{2} \bar{u}_{pd}^T Q \bar{u}_{pd} + \bar{u}_{pd}^T P B \left[ \varepsilon - \right. \\ & \left. \frac{d(t)}{g(X)} \right] - \frac{1}{\eta_{n-1}} \tilde{\theta}_{n-1}^T \dot{\tilde{\theta}}_{n-1} - \sum_{i=1}^{n-2} \frac{1}{\eta_i} \tilde{\theta}_i^T \dot{\tilde{\theta}}_i - \\ & \frac{1}{\eta_f} \tilde{\theta}_f^T \dot{\tilde{\theta}}_f + \frac{1}{\eta_p} \dot{\tilde{\rho}}(\tilde{\rho} - \rho^*) = -\frac{1}{2} \bar{u}_{pd}^T Q \bar{u}_{pd} + \\ & \bar{u}_{pd}^T P B \left[ \tilde{\theta}_{n-1}^T \left( \hat{f}_{n-1} - \sum_{i=1}^{n-2} \frac{\partial f_{n-1}}{\partial \theta_i} \Big|_{\theta=\hat{\theta}} \tilde{\theta}_i \right) + \right. \\ & \left. \tilde{\theta}_{n-1}^T \left( \sum_{i=1}^{n-2} \frac{\partial f_{n-1}}{\partial \theta_i} \Big|_{\theta=\hat{\theta}} \tilde{\theta}_i \right) + R - u_r - \right] \end{aligned} \quad (۲۹)$$

اعمال قوانین به روز رسانی مطرح شده در (۳۴) تا (۳۷) باعث ایجاد یک سری پارامترها اضافی شده و در نتیجه اثبات مطرح شده در قضیه ۲ را تحت تاثیر قرار می‌دهد و لازم است مجددًا تحت بررسی قرار گیرد. به عبارت دقیق‌تر رابطه (۳۰) به صورت (۳۸) درمی‌آید:

$$\dot{V} \leq -\frac{1}{2}\bar{u}_{pd}^T Q \bar{u}_{pd} + \sigma \tilde{\theta}_{n-1}^T \hat{\theta}_{n-1} + \sigma \sum_{i=1}^{n-2} \tilde{\theta}_i^T \hat{\theta}_i + \sigma \tilde{\theta}_f^T \hat{\theta}_f - \sigma \rho (\rho - \rho^*) \quad (38)$$

با اندکی ساده‌سازی ریاضی خواهیم داشت:

$$\begin{aligned} \dot{V} &\leq -\frac{1}{2}\bar{u}_{pd}^T Q \bar{u}_{pd} - \frac{\sigma}{2} [\tilde{\theta}_{n-1}^T \hat{\theta}_{n-1}] - \frac{\sigma}{2} \sum_{i=1}^{n-2} [\tilde{\theta}_i^T \hat{\theta}_i] + \\ &\hat{\theta}_{n-1}^T \hat{\theta}_{n-1} - \theta_{n-1}^{*T} \theta_{n-1}^* - \frac{\sigma}{2} [\tilde{\theta}_f^T \hat{\theta}_f + \hat{\theta}_f^T \hat{\theta}_f] - \\ &\theta_f^{*T} \theta_f^* - \frac{\sigma}{2} [(\rho - \rho^*)^2 + \rho^2 - \rho^{*2}] \end{aligned} \quad (39)$$

رابطه (۳۹) را با تعریف متغیرهای جدید و عملیات ریاضی می‌توان به صورت (۴۰) بازنویسی کرد:

$$\dot{V} \leq -cV + \rho_r \quad (40)$$

که در آن،

$$\rho_r = \frac{\sigma}{2} \theta_{n-1}^{*T} \theta_{n-1}^* + \frac{\sigma}{2} \sum_{i=1}^{n-2} \theta_i^{*T} \theta_i^* + \frac{\sigma}{2} \theta_f^{*T} \theta_f^* + \frac{\sigma}{2} \rho^{*2} \quad (41)$$

$$c = \frac{\min(\sigma, 1) \cdot \min(\eta_t, \eta_f, \eta_p)}{2} \quad (42)$$

بنابراین، تابع لیاپانوف تا زمانی که  $\rho_r/c \leq V$  است همگرا می‌شود. مقدار  $c$  مقدار کوچکتر از یک است که باعث می‌شود کسر مذکور بزرگ‌تر شود و از آنجا که مقدار آن وابسته به نرخ‌های آموزش و  $\sigma$  است می‌توان این بازه را به اندازه کافی بزرگ طراحی کرد. بزرگ شدن این بازه منجر به بزرگ‌شدن ناحیه جذب تابع لیاپانوف می‌شود. در نتیجه با انتخاب مقدار کوچک  $c$  ناحیه جذب بزرگ می‌شود. بنابراین ناحیه‌ای از شرایط اولیه که به ازای آنها می‌توان پایداری سیستم را تضمین کرد بزرگ‌تر می‌شود.

## ۷- نتایج شبیه‌سازی‌ها

در این بخش به شبیه‌سازی دو مثال کاربردی می‌پردازیم و روش کنترل پیشنهادی را بر روی آنها اعمال می‌کنیم. برای نشان دادن کارایی روش‌های پیشنهاد شده، آنها را با کنترل کننده کلاسیک مدل‌گذشتی [۱۵] مقایسه کرده‌ایم. مثال اول بازوی ربات انعطاف‌پذیر است که یک سیستم مکانیکی پر استفاده در صنعت و محیط‌های دانشگاهی است. مثال دوم سیستم تعليق خودروی یک چهارم فعال است که در صنعت و مقالات بسیار مورد استفاده قرار می‌گیرد.

مثال اول: شکل ۴ شماتیک کلی بازوی ربات انعطاف‌پذیر را نشان می‌دهد. مجموعه  $\{q_1, q_1, q_2, q_2\}$  را به عنوان مجموعه مختصات توسعه یافته برای این سیستم تعریف می‌شود که در آن  $q_1$  زاویه بازو،  $q_2 = -\left(\frac{1}{m}\right)\theta_1$  تغییر زاویه ای روتور،  $m$  نسبت چرخ دنده،  $q_1 - q_2$  جابجایی الاستیکی بازو می‌باشد [۱۶].

$$V_1(t) = V(t) - \int_0^t (\dot{V}(t) + \frac{1}{2} \bar{u}_{pd}^T Q \bar{u}_{pd}) dt \quad (32)$$

که نتیجه می‌دهد:

$$\dot{V}_1(t) = -\frac{1}{2} \bar{u}_{pd}^T Q \bar{u}_{pd} \quad (33)$$

سمت راست رابطه (۱۲) از عبارات محدود تشکیل شده است. از طرف دیگر  $V_1$  از سمت حد پایین به صفر محدود است و  $0 \leq \dot{V}_1$  پس با توجه به لم باربالات هنگامی که زمان به سمت پایه نماید  $V_1$  به سمت صفر می‌کند و در نتیجه خطای پسخور و در نهایت خطای ردیابی به سمت صفر همگرا می‌شود. ▲

**تعیین قضیه:** در قضیه بیان شده کنترل کننده فازی سلسله مراتبی به صورت  $1 - n$  در نظر گرفته شده است. اما در واقع قضیه این قابلیت را دارد که هر کنترل کننده فازی سلسله مراتبی با هر تعداد لایه اعمال شود. فقط کافی است که در (۲۰) حد بالای مجموع (سیگما) که نشان دهنده تعداد لایه‌ها یک است تغییر کند. مهمترین نتیجه‌ای که این تعیین دارد این است که می‌توان آن را به کنترل کننده فازی کلاسیک نیز اعمال کرد. بدین صورت که چون تعداد لایه‌ها برابر ۱ است حد بالای مجموع برابر با صفر شده و مجموع صفر می‌شود و فقط پارامترهای لایه آخر به روز رسانی می‌شود. بنابراین همان‌طور که ملاحظه می‌گردد، قضیه حالت کلی داشته و می‌توان آن را به هر ساختاری از سیستم فازی اعمال کرد.

## ۶- مقاوم‌سازی قوانین تطبیق

در بخش قبل در قضیه مطرح شده فرض کردیم که سیستم فازی سلسله مراتبی کنترل کننده مطلوب را با تقریب بسیار خوبی تخمین می‌زند. اما در عمل خطای مدل‌سازی همیشه و به طور اجتناب‌ناپذیری وجود دارد که ناشی از عوامل و نامعینی‌هایی است که در نظر گرفته نشده است و ممکن است باعث ایجاد ناپایداری در روش آموزش گردد. برای اجتناب از این وضعیت، روش‌هایی برای مقاوم‌سازی روش‌های آموزشی در نظر گرفته می‌شود [۱۴]. در این مقاله از یکی از مهمترین این روش‌ها در نظر گرفته می‌شود. در این عنوان  $\sigma$ -modification استفاده شده است. بدین ترتیب قوانین به روز رسانی که در قضیه ۲ در روابط (۲۰) تا (۲۳) مطرح شدند به صورت زیر تغییر می‌کنند:

$$\dot{\hat{\theta}}_{n-1} = \eta_{n-1} \bar{u}_{pd}^T PB \left( \hat{\theta}_{n-1} - \sum_{i=1}^{n-2} \frac{\partial \Gamma_{n-1}}{\partial \theta_i^*} |_{\theta=\hat{\theta}} \hat{\theta}_i \right) - \sigma \eta_{n-1} \hat{\theta}_{n-1} \quad (34)$$

$$\dot{\hat{\theta}}_i = \eta_i \bar{u}_{pd}^T PB \left( \hat{\theta}_{n-1}^T \left( \frac{\partial \Gamma_{n-1}}{\partial \theta_i^*} |_{\theta=\hat{\theta}} \right) \right)^T - \sigma \eta_i \hat{\theta}_i; \text{ for } i = 1, \dots, n-2 \quad (35)$$

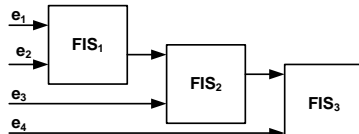
$$\dot{\hat{\theta}}_f = \eta_f |\bar{u}_{pd}^T PB| Y_f - \sigma \eta_f \hat{\theta}_f \quad (36)$$

$$\dot{\rho} = \eta_p |\bar{u}_{pd}^T PB| - \sigma \eta_p \rho \quad (37)$$

اغتشاش در نظر گرفته شده برای این شبیه سازی به صورت رابطه (۴۷) در نظر گرفته شده است.

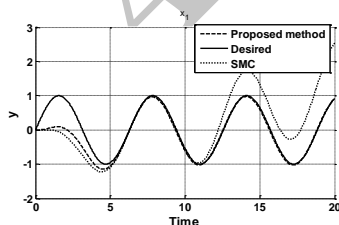
$$d(t) = \begin{cases} 4 & t > 10 \\ 0 & \text{otherwise} \end{cases} \quad (47)$$

همان طور که در رابطه (۴۵) قابل مشاهده است سیستم داری ۴ متغیر حالت می باشد لذا سیستم فازی سلسله مراتبی با سه بلوک فازی مانند شکل ۵ برای آن در نظر گرفته شده است.

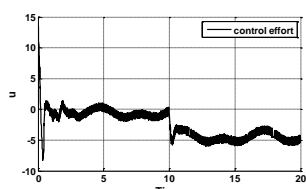


شکل ۵: بلوک دیاگرام کنترل کننده فازی سلسله مراتبی در نظر گرفته شده

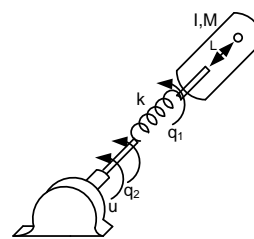
در شبیه سازی ها شرایط اولیه متغیر های اولیه را صفر در نظر گرفتیم. سیگنال مطلوبی که جهت ردیابی مد نظر قرار داده شده است سیگنال سینوسی می باشد. در شکل ۶ نتیجه ردیابی سیستم بازوی ربات انعطاف پذیر به سیگنال سینوسی و در شکل ۸ پاسخ پله آن با کنترل کننده پیشنهاد شده و همچنین نتایج با کنترل کننده مدل غزشی مقایسه شده است. همان طور که در شکل ها مشاهده می شود کنترل کننده پیشنهادی در مقایسه با کنترل کننده مدل غزشی در حضور اغتشاش جواب بسیار مطلوبی داده است. در واقع کنترل کننده پیشنهاد شده در مقایسه با اغتشاش نسبت به کنترل کننده مدل غزشی مقاوم تر است. لازم به ذکر است که در اینجا ما اغتشاش را آنقدر بزرگ در نظر گرفته ایم تا به مرزی برسیم که کنترل کننده مدل غزشی جوابگو نباشد در حالی که همان طور که دیده می شود کنترل کننده پیشنهادی پاسخ پیشنهادی دهد. دلیل این امر وجود جمله ای در سیگنال کنترلی به عنوان جمله مقاوم و همچنین تطبیقی بودن کنترل کننده پیشنهاد شده می باشد. از طرف دیگر استفاده از کنترل کننده فازی سلسله مراتبی در مقایسه با سیستم فازی معمولی منجر به کاهش تعداد قوانین از ۸۱ قانون به ۲۷ قانون و در نتیجه کاهش تعداد پارامترها شده است.



شکل ۶: ردیابی سینوسی مثال اول: (—) روش پیشنهادی. (—) سیگنال مطلوب. (...) روش مدل غزشی



شکل ۷: سیگنال کنترلی مربوط به ردیابی سینوسی مثال اول



شکل ۴: شماتیک بازوی ربات انعطاف پذیر

با استفاده از معادلات اویلر، مدل تحلیلی بازوی انعطاف پذیر به صورت (۴۳) به دست می آید:

$$\begin{cases} I\ddot{q}_1 + MgL\sin(q_1) + K(q_1 - q_2) = 0 \\ J\ddot{q}_2 - K(q_1 - q_2) = u \end{cases} \quad (43)$$

معادلات فضای حالت را می توان به صورت (۴۴) تعریف کرد:

$$\begin{aligned} \dot{x}_1 &= x_2 \\ \dot{x}_2 &= -\frac{MgL}{I}\sin(x_1) - \frac{K}{I}(x_1 - x_3) \\ \dot{x}_3 &= x_4 \\ \dot{x}_4 &= \frac{K}{J}(x_1 - x_3) + \frac{1}{J}u \\ y &= x_1 \end{aligned} \quad (44)$$

متغیرهای حالت به این صورت در نظر گرفته شده اند که  $x_1 = q_1$  و  $x_2 = q_2$ . فضای حالت ارایه شده در (۴۴)، شرایط سیستم (۱) را برآورده نمی کند. به عبارت دیگر سیستم را باید به فرم نرمال در آوریم. سیستم به فرم نرمال در (۴۵) نشان داده شده است.

$$\begin{aligned} \dot{z}_1 &= z_2 \\ \dot{z}_2 &= z_3 \\ \dot{z}_3 &= z_4 \\ \dot{z}_4 &= -\left(\frac{MgL}{I}\cos(z_1) + \frac{K}{I} + \frac{K}{J}\right)z_3 - \frac{MgL}{I}(z_2^2 - \frac{K}{J})\sin(z_1) + \frac{K}{IJ}u \end{aligned} \quad (45)$$

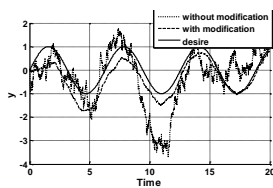
که در آن متغیرهای حالت به صورت رابطه (۴۶) در نظر گرفته شده است.

$$\begin{aligned} z_1 &= x_1 \\ z_2 &= x_3 \\ z_3 &= -\frac{MgL}{I}\sin(x_1) - \frac{K}{I}(x_1 - x_3) \\ z_4 &= -\frac{MgL}{I}x_2\cos(x_1) - \frac{K}{I}(x_2 - x_4) \end{aligned} \quad (46)$$

مقادیر عددی در نظر گرفته شده برای پارامترها در جدول ۱ آورده شده است.

جدول ۱: مقادیر عددی پارامترهای سیستم ربات انعطاف پذیر [۱۶]

پارامترها	مقادیر عددی
$g$	$9.8 \text{ m/s}^2$
$M$	$1 \text{ Kg}$
$K$	$1 \text{ N/m}$
$J$	$1 \text{ Kgm}^2$
$I$	$1 \text{ Kgm}^2$
$L$	$1 \text{ m}$



شکل ۱۰: پاسخ مثال اول در حضور نویز با و بدون استفاده از روش مقاوم‌سازی

**مثال دوم:** در این مثال مسئله رگولاژیون سیستم تعليق يك چهارم خودرو را مورد بررسی قرار داده‌ایم. در شکل ۱۱ شماتیک کلی این سیستم نشان داده شده است. در (۴۹) معادلات حاکم بر سیستم تعليق يك چهارم آورده شده است [۱۷]. در این معادلات  $x_1$  و  $x_2$  به ترتیب جابجایی و سرعت عمودی جرم معلق و  $x_3$  و  $x_4$  به ترتیب جابجایی و سرعت عمودی جرم غیرمعلق،  $k_s$  ثابت مشخصه نیروی غیرخطی فر،  $B_s$  ثابت مشخصه میرایی غیرخطی کمکفر،  $k_t$  ثابت فری تابر خودرو،  $Z_r$  دست انداز،  $m_s$  و  $m_u$  به ترتیب جرم‌های معلق و غیرمعلق می‌باشند.

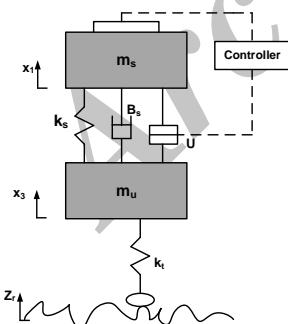
$$\dot{x}_1 = x_2$$

$$\begin{aligned} \dot{x}_2 &= \frac{1}{m_s} (-k_s(x_1 - x_3)^3 - B_s(x_2 - \\ x_4)^5 + u(t)) \end{aligned} \quad (49)$$

$$\dot{x}_3 = x_4$$

$$\begin{aligned} \dot{x}_4 &= \frac{1}{m_u} (k_s(x_1 - x_3)^3 + B_s(x_2 - \\ x_4)^5 - K_t x_3 + K_t Z_r - u(t)) + d(t) \end{aligned}$$

$$y = x_1$$

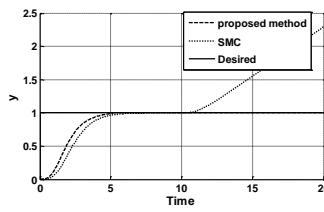


شکل ۱۱: شماتیک سیستم تعليق خودرو يك چهارم همان‌طور که مشاهده می‌شود معادلات به فرم نرمال نشان داده شده در (۱) نیستند و مانند مثال قبل لازم است به شکل در آورده شوند. در (۵۰) روابط به شکل ۱ درآمده نشان داده شده است [۱۷].

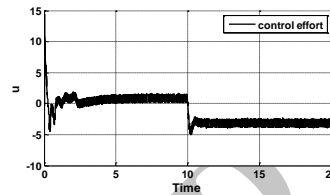
$$\dot{z}_1 = z_2$$

$$\dot{z}_2 = z_3 \quad (50)$$

$$\dot{z}_3 = z_4$$



شکل ۸: پاسخ پله مثال اول: (—) روش پیشنهادی. (—) سیگنال مطلوب. (...) روش مدل‌نگاشتی



شکل ۹: سیگنال کنترلی مربوط به پاسخ پله مثال اول

لازم به توضیح است که در لحظات اولیه که پارامترهای فازی سلسله مراتبی هنوز آموزش نیافرند کنترل کننده PD نقش اصلی در کنترل را دارد و لذا پاسخ مناسب در لحظات اولیه وابسته به طراحی پارامترهای کنترل کننده PD دارد. در شکل‌های ۷ و ۹ سیگنال‌های کنترلی شبیه‌سازی‌ها نشان داده شده‌اند. همان‌طور که قابل مشاهده است سیگنال کنترلی دارای نوسان زیادی است که ناشی از وجود جمله مقاوم در کنترل کننده است. از آنجا که این جمله داری تابع علامت sign در کنترل کننده است. از آنجا که این جمله داری تابع اثبات sat است، پدیده وزوز ۱ اتفاق می‌افتد برای اجتناب از ایجاد پدیده وزوز و از بین بردن نوسانات می‌توان از تابع اثبات sat استفاده کرد. این تابع نوسانات را از بین می‌برد ولی باعث ایجاد خطای ماندگار بسیار اندکی می‌شود.

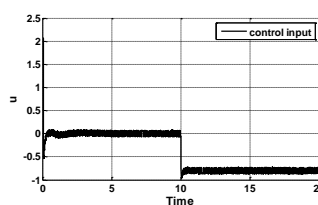
همچنین در شکل ۱۰ برای نشان دادن کاربرد روش مقاوم‌سازی ذکر شده نویز فرآیند به سیستم اضافه کرده‌ایم بدین ترتیب معادلات سیستم در رابطه (۴۵) با رابطه (۴۸) جایگزین می‌شود.

$$\begin{aligned} \dot{z}_1 &= z_2 + n(t) \\ \dot{z}_2 &= z_3 \\ \dot{z}_3 &= z_4 \end{aligned} \quad (48)$$

$$\begin{aligned} \dot{z}_4 &= -\left(\frac{MgL}{I}\cos(z_1) + \frac{K}{I} + \frac{K}{J}\right)z_3 - \\ &\quad \frac{MgL}{I}(z_2^2 - \frac{K}{J})\sin(z_1) + \frac{K}{IJ}u + n(t) \end{aligned}$$

که در آن ( $n(t)$  با میانگین صفر و انحراف معیار ۱ است. در واقع در این شبیه‌سازی مقدار انحراف معیار نویز را به قدری افزایش می‌دهیم تا موج بروز پدیده گریز پارامتری شود و در این حالت  $\sigma - modification$  مانع خارج شدن پارامترها از ناحیه مطلوب می‌شود. همان‌طور که در شکل ۱۰ مشاهده می‌شود، به دلیل مقدار قابل توجه نویز پاسخ‌ها با پاسخ مطلوب فاصله دارند اما روش مقاوم‌سازی منجر به جلوگیری از گریز پارامترها از ناحیه همگرایی شده است.

<sup>۱</sup> Chattering



شکل ۱۳: سیگنال کنترلی مربوط به مثال دوم

در این مثال شرایط اولیه جابجایی عمودی در ۱۰ سانتی‌متری قرار داده شده است. همانند آنچه که در مثال قبل ذکر شد در لحظه‌های اولیه که پارامترهای سیستم فازی سلسله مراتبی هنوز آموزش ندیده‌اند کنترل-کننده PD نقش اصلی را در کنترل دارد و درنتیجه پاسخ مناسب در شروع کار سیستم وابسته به طراحی پارامترهای کنترل-کننده PD است. در شکل ۱۳ نیز سیگنال کنترلی مربوط به این مثال نشان داده می‌شود. در این مثال نیز سیگنال کنترلی بخطار پدیده وزوز دارای نوسان زیادی است. در اینجا نیز برای اجتناب از ایجاد پدیده وزوز و از بین بردن نوسانات می‌توان از تابع اشباع sat استفاده کرد که این کار باعث ایجاد خطای ماندگار بسیار اندکی می‌شود.

## ۸- بحث و نتیجه‌گیری

در این تحقیق کنترل-کننده تطبیقی فازی سلسله مراتبی در کنار کنترل-کننده کلاسیک PD برای یک کلاس از سیستم‌های غیرخطی تک ورودی-تک خروجی در حضور اغتشاش محدود ارایه کرده‌ایم. کنترل-کننده PD در واقع برای ایجاد یک حاشیه امن در لحظات اولیه که سیستم فازی به طور کامل آموزش ندیده است بسیار مناسب می‌باشد. در واقع ایده کنترل-کننده مطرح شده بر پایه آموزش پسخور خطأ می‌باشد اما بجای آموزش پارامترهای سیستم فازی سلسله مراتبی با روش گرادیان نزولی که در آموزش پسخور خطأ مرسوم است، از تابع لیپانوف برای استخراج قوانین به روز رسانی پارامترها استفاده شده است. تابع لیپانوف مطرح شده باعث تضمین پایداری سیستم تحت کنترل می‌شود. از آنچه که خطای پارامترها نیز در تابع لیپانوف در نظر گرفته شده است لذا همگرایی پارامترها به سمت مقدار مطلوبشان نیز تضمین می‌گردد. همچنین جهت جلوگیری از خروج پارامترها از ناحیه همگرایی از روش ۵-modification استفاده شده است. اثبات مطرح شده پس از ۵-modification دوباره مورد بررسی قرار گرفته و نشان داده شده است که تابع لیپانوف مطرح شده در ناحیه ذکر شده باعث کاهش تعداد قواعد و در نتیجه پارامتر می‌شود.

لذا دستاوردهای مقاله را می‌توان بدین صورت ذکر کرد:

- ارایه سیستم فازی سلسله مراتبی تطبیقی مبتنی بر آموزش

پسخور خطأ

$$\dot{z}_4 = -\frac{k_t}{m_u} [k_s(x_1 - x_3)^3 + B_s(x_2 - x_4)^5 - k_t] + \frac{k_t}{m_u} u(t) + d(t)$$

که در آن، متغیرها به صورت زیر تعریف شده‌اند:

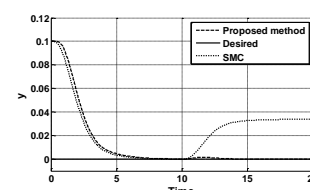
$$\begin{aligned} x_1 &= \frac{1}{m_s}(z_1 + \frac{m_u z_3}{k_t}) \\ x_2 &= \frac{1}{m_s}(z_2 + \frac{m_u z_4}{k_t}) \\ x_3 &= -\frac{z_3}{k_t} \\ x_4 &= -\frac{z_4}{k_t} \end{aligned} \quad (51)$$

مقادیر متغیرهای سیستم نیز که در شبیه‌سازی در نظر گرفته شده‌اند در جدول ۲ آمده است. از آنچه که در این مثال نیز سیستم ۴ متغیر حالت دارد، کنترل-کننده سلسله مراتبی در این نیز مانند شکل ۵ است. همچنین شرایط اولیه متغیرهای حالت نیز صفر فرض شده است. همچنین اغتشاش وارد بر سیستم نیز مانند (۴۷) در نظر گرفته شده است.

جدول ۲: مقادیر عددی پارامترهای سیستم تعلیق یک چهارم [۱۷]

پارامترها	مقادیر عددی
$m_u$	40 Kg
$m_s$	400 Kg
$B_s$	1000 Ns/m
$k_s$	18000 N/m
$k_t$	200000 N/m

در شکل ۱۲ نتایج شبیه‌سازی آورده شده است. همان‌طور که انتظار می‌رفت مقایسه کنترل-کننده پیشنهادی با کنترل-کننده مدل‌گذشتی نشان می‌دهد که کنترل-کننده ما نسبت به کنترل-کننده کلاسیک در مقابل اغتشاش مقاوم‌تر می‌باشد. در این نیز اغتشاش آنقدر بزرگ در نظر گرفته شده است تا به مرزی برسیم که کنترل-کننده مدل‌گذشتی جوابگو نباشد در حالی که همان‌طور که دیده می‌شود کنترل-کننده پیشنهادی پاسخ مطلوبی می‌دهد. همچنین با استفاده از کنترل-کننده فازی سلسله مراتبی تعداد قوانین فازی در مقایسه با سیستم فازی معمولی از ۸۱ قانون به ۲۷ قانون کاهش پیدا کرده است که منجر به کاهش تعداد کل پارامترهای آموزش‌پذیر شده است.



شکل ۱۲: رگولاژون مثال دوم: (---) روش پیشنهادی. (-) سیگنال مطلوب. (—) روش مدل‌گذشتی

- [14] Farrell J. A., Polycarpou M. M., Adaptive Approximation Based Control: Unifying Neural, Fuzzy and Traditional Adaptive Approximation Approaches. John Wiley and Sons INC. Publication, 2006.
  - [15] Khalil H. K., 'Nonlinear Systems' (3rd Edition). PTR Prentice-Hall, 2001.
  - [16] Khanesar M. A., Teshnehab M., Kaynak O. , Direct Model Reference Takagi-Sugeno Fuzzy Control of SISO Nonlinear Systems, IEEE Trans. on Fuzzy Syst. 2011;19 (5): 914-924.
  - [17] Zahiripour S. A., Jalali A. A., Designing an optimal proportional-integral sliding surface for a quarter car active suspension system with suspension components possessing uncertain constants and nonlinear characteristics, NASHRIYYAH-I MUHANDISI-I BARQ VA MUHANDISI-I KAMPYUTAR-I 2012, 10 (2).
- تضمین پایداری سیستم تحت کنترل در ردیابی سیگنال  
• مرجع  
• تضمین همگرایی پارامترهای سیستم فازی سلسله مراتبی  
• به مقادیر بهینه  
• افزایش مقاوم بودن الگوریتم کنترلی ارایه شده در  
• مقایسه با کنترل کننده‌های کلاسیک  
• کاهش تعداد قواعد و پارامترهای سیستم فازی  
• قابلیت اعمال قضیه مطرح شده به هر ساختار سیستم  
• سلسله مراتبی و حتی به سیستم‌های فازی کلاسیک  
• مقاوم‌سازی قوانین به روز رسانی پارامترها برای اجتناب از  
• موقع پدیده گریز پارامتری  
• کنترل کننده پیشنهادی بر روی دو سیستم (بازوی ربات انعطاف‌پذیر  
و سیستم تعليق خودرو) اعمال شده است. در شبیه‌سازی‌ها کنترل کننده  
پیشنهادی با روش مدل‌گزشی مقایسه شده است. نتایج شبیه‌سازی قابلیت  
روش پیشنهاد شده را هنگامی که دامنه اغتشاش به اندازه کافی بزرگ  
باشد را نشان می‌دهد.

## مراجع

- [1] Raju G. V. S., Zhou J., Kisner R. A., Hierarchical fuzzy control, Int. J. Control 1991;54 (5): 1201–1216.
- [2] Wang L. X., Universal approximation by hierarchical fuzzy systems, Fuzzy Set Syst. 1998; 93 (2): 223–230.
- [3] Wang L. X., Analysis and design of hierarchical fuzzy systems, IEEE Trans. Fuzzy Syst. 1999;7 (5): 617–624.
- [4] Wei C., Wang L. X. A note on universal approximation by hierarchical fuzzy systems, Inform. Sciences 2000; 123 (3-4): 241–248.
- [5] Joo M. G., Lee J. S., Universal approximation by hierarchical fuzzy system with constraints on the fuzzy rule, Fuzzy Set Syst. 2002; 130 (2): 175–188.
- [6] TorraV., A Review of the construction of hierarchical fuzzy systems, Int. J. Intel. Syst. 2002; 17 (5): 531–543.
- [7] Wang D., Zeng X. J., KeaneJ. A. , A Survey of Hierarchical Fuzzy Systems, Int. J. Comp. Cog. 2006; 4: 18–29.
- [8] Kawato M. A. Hierarchical neural-network model for control and learning of voluntary movement, Biol. Cybernet 1987; 57 pp. 169–85.
- [9] Aiko Miyamura Ideta., Stability of feedback error learning method with time delay, Neuro computing, 2006; 69(13–15) pp. 1645–54.
- [10] Aiko Miyamura, Hidenori Kimura., Stability of feedback error learning scheme, Syst Control Lett, 2002; 45(4) pp. 303–16.
- [11] Sabahi K., Teshnehab M., shoorhedeli M.A., Recurrent fuzzy neural network by using feedback error learning approaches for LFC in interconnected power system Energy Conversion and Management, 2009; 50(4), pp. 938–946.
- [12] Teshnehab M., Watanabe K., Neural network controller with flexible structure based on feedback error learning approach, Journal of Intelligent and Robotic Systems 1996; 15(4): 367–387.
- [13] Mansouri M., Teshnehab M., Shoorhedeli M.A.. "Adaptive variable structure hierarchical fuzzy control for a class of high-order nonlinear dynamic systems." ISA transactions 2014.